

# Cifrari a blocchi: Advanced Encryption Standard



**Barbara Masucci**

Dipartimento di Informatica ed Applicazioni  
Università di Salerno

masucci@dia.unisa.it

<http://www.dia.unisa.it/professori/masucci>

## Advanced Encryption Standard (AES)

- Il *National Institute of Standard and Technology* (NIST) propose il DES come standard nel 1977 ...
- DES riaffermato nel 1993 fino a Dicembre 1998
- Critiche al DES:
  - chiave di soli 56 bit (112 per 3-DES)
  - blocchi di 64 bit
  - criteri costruttivi non chiari (ci sono trapdoor nelle S-box?)
  - lento nell'implementazione software (3-DES ancora di più)
- Obiettivo del NIST:
  - nuovo cifrario a blocchi per uso commerciale e governativo più **sicuro** ed **efficiente** di 3-DES



## Processo di Selezione AES

- 12 Settembre 1997: il NIST indice un concorso pubblico per la nomina dell' AES
- **Pubblico scrutinio** (<http://www.nist.gov/AES>)
- Prima conferenza AES, 20-23 agosto 1998 (presentazione di 15 candidature)
- **Pubblico scrutinio**
- Seconda conferenza AES, 22-23 marzo 1999 (presentazione analisi e testing)
- 9 Agosto 1999: annuncio dei 5 finalisti (MARS, RC6, RINJDAEL, SERPENT, TWOFISH)
- **Pubblico scrutinio**
- Terza conferenza AES, 13-14 aprile 2000 (presentazione analisi e testing)



Barbara Masucci - DIA – Università di Salerno

2

## Processo di Selezione AES

- 2 ottobre 2000: Scelta del finalista: **RINJDAEL**
- 28 febbraio 2001: Pubblicazione di un Draft di *Federal Information Processing Standard* (FIPS)
- **Pubblico scrutinio di 90 giorni**
- Proposta al *Secretary of Commerce* per approvazione
- Pubblicato sul *Federal Register*, 6 dic 2001,
  - annuncio approvazione come FIPS 197
  - effettivo a partire dal 26 maggio 2002



Barbara Masucci - DIA – Università di Salerno

3

## Requisiti e Selezione per l'AES

### Requisiti richiesti dal NIST:

- Cifrario a blocchi
- Lunghezza chiave: 128, 192, o 256 bit
- Lunghezza blocco: 128 bit
- Permette l'implementazione su smart-card
- Royalty-free

### Piattaforma del NIST per l'analisi dei candidati:

- PC IBM-compatibile, Pentium Pro 200MHz, 64MB RAM, WINDOWS 95
- Compilatori Borland C++ 5.0 ed il Java Development Kit (JDK) 1.1

### Selezione del NIST basata su:

- Sicurezza
- Efficienza implementazioni hardware e software
- Grandezza codice e memoria utilizzata



## Documentazione dei Candidati

- Descrizione algoritmo
- Analisi algoritmo (vantaggi e limiti)
- Stima dell'efficienza computazionale
- Analisi dell'algoritmo rispetto agli attacchi di crittoanalisi più conosciuti (ad esempio known o chosen plaintext)
- Implementazione di riferimento in ANSI C
- Implementazione ottimizzata dell'algoritmo implementata in ANSI C e Java




## Finalisti e candidati per l'AES

<b>RIJNDAEL</b>	<b>Joan Daemen, Vincent Rijmen</b>	} Pronuncia: Reign Dahl, Rain Doll, Rhine Dahl
<b>MARS</b>	<b>IBM</b>	
<b>RC6</b>	<b>RSA Laboratories</b>	
<b>SERPENT</b>	<b>R. Anderson, E. Biham, L. Knudsen</b>	
<b>TWOFISH</b>	<b>B.Schneier, J.Kelsey, D.Whiting, D.Wagner, C.Hall, N.Ferguson</b>	
<b>CAST-256</b>	<b>Entrust Technologies, INC.</b>	
<b>CRYPTON</b>	<b>Future System, INC.</b>	
<b>DEAL</b>	<b>R. Outerbridge, L.Knudsen</b>	
<b>DFC</b>	<b>CNRS</b>	
<b>E2</b>	<b>Nippon Telegraph and Telephone Corp.</b>	
<b>FROG</b>	<b>TecApro Internacional S.A.</b>	
<b>HPC</b>	<b>L.Brown, J.Pieprzyk, J.Seberry</b>	
<b>LOKI97</b>	<b>L.Brown, J.Pieprzyk, J.Seberry</b>	
<b>MAGENTA</b>	<b>Deutsche Telekom AG</b>	
<b>SAFER+</b>	<b>Cylink Corp.</b>	

 Barbara Masucci - DIA – Università di Salerno 6

## AES: Rijndael

- Non è un cifrario di Feistel
  - Lavora in parallelo sull'intero blocco in input
- E' un cifrario a blocchi iterato
  - Taglia del blocco: 128 bit (anche 192 o 256 bit)
  - Lunghezza della chiave: 128, 192, o 256 bit
  - Numero di round: 10, 12 o 14
  - Schedulazione della chiave: 44, 52 o 60 sottochiavi a 32 bit
- Ogni round (tranne l'ultimo) è una composizione uniforme e parallela di 4 passi
  - **SubBytes** (sostituzione byte per byte mediante S-box)
  - **ShiftRows** (permutazione)
  - **MixColumns** (sostituzione che usa aritmetica sul campo finito  $GF(2^8)$ )
  - **AddRound key** (XOR bit a bit con chiave espansa)

 Barbara Masucci - DIA – Università di Salerno 7

## Parametri AES

	Key Length ( <i>Nk words</i> )	Block Size ( <i>Nb words</i> )	Number of Rounds ( <i>Nr</i> )
<b>AES-128</b>	4	4	10
<b>AES-192</b>	6	4	12
<b>AES-256</b>	8	4	14

1 word = 32 bit



Barbara Masucci - DIA – Università di Salerno

8

## Chiavi AES

- Con 128 bit:  $2^{128} = 3.4 \times 10^{38}$  chiavi possibili
  - Una macchina che prova  $2^{55}$  chiavi al secondo impiega 149.000 miliardi di anni per rompere AES
- Con 192 bit:  $2^{192} = 6.2 \times 10^{57}$  chiavi possibili
  - ...
- Con 256 bit:  $2^{256} = 1.1 \times 10^{77}$  chiavi possibili
  - ...

**Si pensa che AES resterà sicuro per i prossimi 20 anni**



Barbara Masucci - DIA – Università di Salerno

9

# Chiave e blocco

➤ **Chiave** di lunghezza variabile (128,192, 256 bit)

- rappresentata come una **matrice di byte** con 4 righe e  $N_k$  colonne,  $N_k = \text{lunghezza chiave} / 32$ 
  - chiave 128 bit= 16 byte →  $N_k=4$
  - chiave 192 bit= 24 byte →  $N_k=6$
  - chiave 256 bit= 32 byte →  $N_k=8$

$K_{0,0}$	$K_{0,1}$	$K_{0,2}$	$K_{0,3}$
$K_{1,0}$	$K_{1,1}$	$K_{1,2}$	$K_{1,3}$
$K_{2,0}$	$K_{2,1}$	$K_{2,2}$	$K_{2,3}$
$K_{3,0}$	$K_{3,1}$	$K_{3,2}$	$K_{3,3}$

➤ **Blocco** di lunghezza 128 bit=16 byte

- rappresentato come una **matrice di byte** con 4 righe e  $N_b$  colonne,  $N_b = \text{lunghezza blocco} / 32$ 
  - blocco 128 bit= 16 byte →  $N_b=4$

$in_0$	$in_4$	$in_8$	$in_{12}$
$in_1$	$in_5$	$in_9$	$in_{13}$
$in_2$	$in_6$	$in_{10}$	$in_{14}$
$in_3$	$in_7$	$in_{11}$	$in_{15}$



# State

➤ Operazioni effettuate su una **matrice di byte**, detta **state**

- 4 righe
- $N_b$  colonne, costituite da word a 32 bit
- $S_{r,c}$  byte in riga  $r$  e colonna  $c$

➤ Matrice di byte in input copiata nella matrice **state**

$$S_{r,c} \leftarrow in_{r+4c}$$

➤ Al termine, matrice **state** copiata nella matrice output

$$out_{r+4c} \leftarrow S_{r,c}$$



## State

input bytes

state

output bytes

in <sub>0</sub>	in <sub>4</sub>	in <sub>8</sub>	in <sub>12</sub>	S <sub>0,0</sub>	S <sub>0,1</sub>	S <sub>0,2</sub>	S <sub>0,3</sub>	out <sub>0</sub>	out <sub>4</sub>	out <sub>8</sub>	out <sub>12</sub>
in <sub>1</sub>	in <sub>5</sub>	in <sub>9</sub>	in <sub>13</sub>	S <sub>1,0</sub>	S <sub>1,1</sub>	S <sub>1,2</sub>	S <sub>1,3</sub>	out <sub>1</sub>	out <sub>5</sub>	out <sub>9</sub>	out <sub>13</sub>
in <sub>2</sub>	in <sub>6</sub>	in <sub>10</sub>	in <sub>14</sub>	S <sub>2,0</sub>	S <sub>2,1</sub>	S <sub>2,2</sub>	S <sub>2,3</sub>	out <sub>2</sub>	out <sub>6</sub>	out <sub>10</sub>	out <sub>14</sub>
in <sub>3</sub>	in <sub>7</sub>	in <sub>11</sub>	in <sub>15</sub>	S <sub>3,0</sub>	S <sub>3,1</sub>	S <sub>3,2</sub>	S <sub>3,3</sub>	out <sub>3</sub>	out <sub>7</sub>	out <sub>11</sub>	out <sub>15</sub>

$S_{r,c} \leftarrow in_{r+4c}$

$0 \leq r < 3 \quad 0 \leq c < Nb-1$

$out_{r+4c} \leftarrow S_{r,c}$

$0 \leq r < 3 \quad 0 \leq c < Nb-1$

Barbara Masucci - DIA – Università di Salerno

12

## Preliminari

Il byte è l'unità di base nella computazione dell'AES

- Rappresentazione dei byte
- Operazioni sui byte
  - Addizione e moltiplicazione
- Struttura di GF(2<sup>8</sup>)
  - Campo finito con 256 elementi

Barbara Masucci - DIA – Università di Salerno

13

# Byte

➤ I valori dei byte sono rappresentati in notazione esadecimale

➤ Due cifre esadecimale per ciascun byte

$$\{11010100\} \rightarrow d4$$

➤ Ciascun byte è interpretato come un elemento del campo finito  $GF(2^8)$

$$\{b_7b_6b_5b_4b_3b_2b_1b_0\} \rightarrow b_7x^7+b_6x^6+b_5x^5+b_4x^4+b_3x^3+b_2x^2+b_1x^1+b_0$$

$$\{11010100\} \rightarrow (x^7+x^6+x^4+x^2)$$



# Addizione su byte

➤ Addizione in  $GF(2^8)$  corrisponde al polinomio i cui coefficienti sono la somma modulo 2 dei coefficienti dei due polinomi

$$(x^6+x^4+x^2+x+1) + (x^7+x+1) = x^7+x^6+x^4+x^2$$

$$\{01010111\} \oplus \{10000011\} = \{11010100\}$$

$$\{57\} \oplus \{83\} = \{d4\}$$





# Moltiplicazione su byte

➤ Moltiplicazione in  $GF(2^8)$  (denotata da  $\bullet$ )  
 corrisponde alla moltiplicazione di polinomi  
 modulo un polinomio irriducibile di grado 8

➤ Il risultato è un polinomio di grado  $\leq 7$

➤ Polinomio irriducibile per AES:

$$m(x) = x^8 + x^4 + x^3 + x + 1$$

➤ E' solo uno dei 30 polinomi irriducibili di grado 8

unici divisori:  
1 e se stesso



# Esempio moltiplicazione

$$\{01010111\} \bullet \{10000011\} = \{11000001\}$$

$$\{57\} \bullet \{83\} = \{c1\}$$

$$\begin{aligned} (x^6 + x^4 + x^2 + x + 1)(x^7 + x + 1) &= x^{13} + x^{11} + x^9 + x^8 + x^7 + \\ &\quad x^7 + x^5 + x^3 + x^2 + x + \\ &\quad x^6 + x^4 + x^2 + x + 1 \\ &= x^{13} + x^{11} + x^9 + x^8 + x^6 + x^5 + x^4 + x^3 + 1 \end{aligned}$$

$$\begin{aligned} x^{13} + x^{11} + x^9 + x^8 + x^6 + x^5 + x^4 + x^3 + 1 \quad \text{modulo} \quad x^8 + x^4 + x^3 + x + 1 \\ = x^7 + x^6 + 1 \end{aligned}$$

dividiamo per  $m(x)$   
e teniamo il resto



# Proprietà

- **Moltiplicazione**
  - Associativa
  - Identità {01}
  - Esiste inverso  $a^{-1}(x)$  per ogni  $a(x)$
  - $a(x) \cdot (b(x) + c(x)) = a(x) \cdot b(x) + a(x) \cdot c(x)$
- **Struttura del campo finito  $GF(2^8)$**



Barbara Masucci - DIA – Università di Salerno

18

# Polinomi con coefficienti in $GF(2^8)$

**Word  $[a_0, a_1, a_2, a_3]$  → polinomio  $a(x) = a_3x^3 + a_2x^2 + a_1x + a_0$**


$a(x) = a_3x^3 + a_2x^2 + a_1x + a_0$        $b(x) = b_3x^3 + b_2x^2 + b_1x + b_0$

**Addizione**     $a(x) + b(x) = (a_3 \oplus b_3)x^3 + (a_2 \oplus b_2)x^2 + (a_1 \oplus b_1)x + (a_0 \oplus b_0)$

**Moltiplicazione**     $c(x) = c_6x^6 + c_5x^5 + c_4x^4 + c_3x^3 + c_2x^2 + c_1x + c_0$

$c_0 = a_0 \cdot b_0$	$c_4 = a_3 \cdot b_1 \oplus a_2 \cdot b_2 \oplus a_1 \cdot b_3$
$c_1 = a_1 \cdot b_0 \oplus a_0 \cdot b_1$	$c_5 = a_3 \cdot b_2 \oplus a_2 \cdot b_3$
$c_2 = a_2 \cdot b_0 \oplus a_1 \cdot b_1 \oplus a_0 \cdot b_2$	$c_6 = a_3 \cdot b_3$
$c_3 = a_3 \cdot b_0 \oplus a_2 \cdot b_1 \oplus a_1 \cdot b_2 \oplus a_0 \cdot b_3$	

**non va in una word!**



Barbara Masucci - DIA – Università di Salerno

19

## Polinomi con coefficienti in $GF(2^8)$

Word  $[a_0, a_1, a_2, a_3] \rightarrow$  polinomio  $a(x) = a_3x^3 + a_2x^2 + a_1x + a_0$

$$a(x) = a_3x^3 + a_2x^2 + a_1x + a_0$$

$$b(x) = b_3x^3 + b_2x^2 + b_1x + b_0$$

**Addizione**  $a(x) + b(x) = (a_3 \oplus b_3)x^3 + (a_2 \oplus b_2)x^2 + (a_1 \oplus b_1)x + (a_0 \oplus b_0)$

**Moltiplicazione**  $c(x) = c_6x^6 + c_5x^5 + c_4x^4 + c_3x^3 + c_2x^2 + c_1x + c_0$

$$c_0 = a_0 \cdot b_0$$

$$c_4 = a_3 \cdot b_1 \oplus a_2 \cdot b_2 \oplus a_1 \cdot b_3$$

$$c_1 = a_1 \cdot b_0 \oplus a_0 \cdot b_1$$

$$c_5 = a_3 \cdot b_2 \oplus a_2 \cdot b_3$$

$$c_2 = a_2 \cdot b_0 \oplus a_1 \cdot b_1 \oplus a_0 \cdot b_2$$

$$c_6 = a_3 \cdot b_3$$

$$c_3 = a_3 \cdot b_0 \oplus a_2 \cdot b_1 \oplus a_1 \cdot b_2 \oplus a_0 \cdot b_3$$



modulo  $x^4 + 1$



Barbara Masucci - DIA - Università di Salerno

20

## Polinomi con coefficienti in $GF(2^8)$

$$a(x) = a_3x^3 + a_2x^2 + a_1x + a_0$$

$$b(x) = b_3x^3 + b_2x^2 + b_1x + b_0$$

**Moltiplicazione mod  $x^4 + 1$**   $d(x) = d_3x^3 + d_2x^2 + d_1x + d_0$

$$d_0 = (a_0 \cdot b_0) \oplus (a_3 \cdot b_1) \oplus (a_2 \cdot b_2) \oplus (a_1 \cdot b_3)$$

$$d_1 = (a_1 \cdot b_0) \oplus (a_0 \cdot b_1) \oplus (a_3 \cdot b_2) \oplus (a_2 \cdot b_3)$$

$$d_2 = (a_2 \cdot b_0) \oplus (a_1 \cdot b_1) \oplus (a_0 \cdot b_2) \oplus (a_3 \cdot b_3)$$

$$d_3 = (a_3 \cdot b_0) \oplus (a_2 \cdot b_1) \oplus (a_1 \cdot b_2) \oplus (a_0 \cdot b_3)$$

cioè

$$\begin{bmatrix} d_0 \\ d_1 \\ d_2 \\ d_3 \end{bmatrix} = \begin{bmatrix} a_0 & a_3 & a_2 & a_1 \\ a_1 & a_0 & a_3 & a_2 \\ a_2 & a_1 & a_0 & a_3 \\ a_3 & a_2 & a_1 & a_0 \end{bmatrix} \begin{bmatrix} b_0 \\ b_1 \\ b_2 \\ b_3 \end{bmatrix}$$



Barbara Masucci - DIA - Università di Salerno

21

## Polinomi con coefficienti in $GF(2^8)$

- $x^4+1$  non è irriducibile su  $GF(2^8)$
- Non tutti i polinomi hanno inverso mod  $x^4+1$
- AES usa  $a(x) = \{03\}x^3 + \{01\}x^2 + \{01\}x + \{02\}$   
 $a^{-1}(x) = \{0b\}x^3 + \{0d\}x^2 + \{09\}x + \{0e\}$



Barbara Masucci - DIA – Università di Salerno

22

## Pseudocodice per l'AES

**Cipher** (byte in[4 · Nb], byte out[4 · Nb], word w[Nb · (Nr + 1)])

byte state[4, Nb]

state ← in

AddRoundKey (state, w)

for round = 1 to Nr - 1

SubBytes (state)

ShiftRows (state)

MixColumns (state)

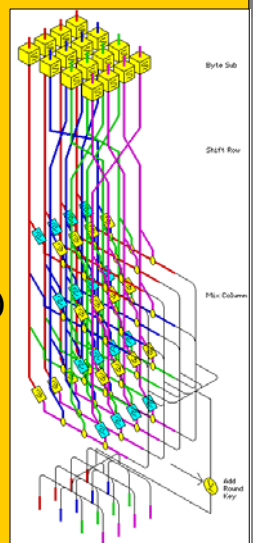
AddRoundKey (state, w + round · Nb)

SubBytes (state)

ShiftRows (state)

AddRoundKey (state, w + Nr · Nb)

out ← state



# SubBytes Transformation

Bytes trasformati mediante una S-box non lineare ma invertibile

$$S'_{r,c} \leftarrow S\text{-box}(S_{r,c}) \quad 0 \leq r < 3 \quad 0 \leq c < Nb-1$$

S-box

$S_{0,0}$	$S_{0,1}$	$S_{0,2}$	$S_{0,3}$
$S_{1,0}$	$S_{1,1}$	$S_{1,2}$	$S_{1,3}$
$S_{2,0}$	$S_{2,1}$	$S_{2,2}$	$S_{2,3}$
$S_{3,0}$	$S_{3,1}$	$S_{3,2}$	$S_{3,3}$

$S'_{0,0}$	$S'_{0,1}$	$S'_{0,2}$	$S'_{0,3}$
$S'_{1,0}$	$S'_{1,1}$	$S'_{1,2}$	$S'_{1,3}$
$S'_{2,0}$	$S'_{2,1}$	$S'_{2,2}$	$S'_{2,3}$
$S'_{3,0}$	$S'_{3,1}$	$S'_{3,2}$	$S'_{3,3}$

Barbara Masucci - DIA – Università di Salerno

24

# S-box

- Tabella 16x16 contenente una permutazione dei 256 valori possibili di un byte
- I primi 4 bit determinano l'indice di riga, gli altri 4 l'indice di colonna

		y															
		0	1	2	3	4	5	6	7	8	9	a	b	c	d	e	f
0	63	7c	77	7b	f2	6b	6f	c5	30	01	67	2b	fe	d7	ab	76	
1	ca	82	c9	7d	fa	59	47	f0	ad	d4	a2	af	9c	a4	72	c0	
2	b7	fd	93	26	36	3f	f7	cc	34	a5	e5	f1	71	d8	31	15	
3	04	c7	23	c3	18	96	05	9a	07	12	80	e2	eb	27	b2	75	
4	09	83	2c	1a	1b	6e	5a	a0	52	3b	d6	b3	29	e3	2f	84	
5	53	d1	00	ed	20	fc	b1	5b	6a	cb	be	39	4a	4c	58	cf	
6	d0	ef	aa	fb	43	4d	33	85	45	f9	02	7f	50	3c	9f	a8	
7	51	a3	40	8f	92	9d	38	f5	bc	b6	da	21	10	ff	f3	d2	
8	cd	0c	13	ec	5f	97	44	17	c4	a7	7e	3d	64	5d	19	73	
9	60	81	4f	dc	22	2a	90	88	46	ee	b8	14	de	5e	0b	db	
a	e0	32	3a	0a	49	06	24	5c	c2	d3	ac	62	91	95	e4	79	
b	e7	c8	37	6d	8d	d5	4e	a9	6c	56	f4	ea	65	7a	ae	08	
c	ba	78	25	2e	1c	a6	b4	c6	e8	dd	74	1f	4b	bd	8b	8a	
d	70	3e	b5	66	48	03	f6	0e	61	35	57	b9	86	c1	1d	9e	
e	e1	f8	98	11	69	d9	8e	94	9b	1e	87	e9	ce	55	28	df	
f	8c	a1	89	0d	bf	e6	42	68	41	99	2d	0f	b0	54	bb	16	

Barbara Masucci - DIA – Università di Salerno

Esempio: {53} → {ed}      25

# Costruzione S-box

- Inizializzare la S-box con i valori dei byte in ordine ascendente riga per riga
  - Prima riga: {00}, {01}, ..., {0F},
  - Seconda riga: {10}, {11}, ..., {1F},
  - ...
- Sostituire ciascun byte con il suo inverso moltiplicativo in  $GF(2^8)$ 
  - {00} resta {00}
- Applicare una trasformazione affine in  $GF(2^8)$

$$b'_i \leftarrow b_i \oplus b_{(i+4)\text{mod}8} \oplus b_{(i+5)\text{mod}8} \oplus b_{(i+6)\text{mod}8} \oplus b_{(i+7)\text{mod}8} \oplus \{01100011\}_i$$

i-esimo bit del byte {63}



# Costruzione S-box

Forma matriciale della trasformazione

$$\begin{bmatrix} b'_0 \\ b'_1 \\ b'_2 \\ b'_3 \\ b'_4 \\ b'_5 \\ b'_6 \\ b'_7 \end{bmatrix} \leftarrow \begin{bmatrix} 1 & 0 & 0 & 0 & 1 & 1 & 1 & 1 \\ 1 & 1 & 0 & 0 & 0 & 1 & 1 & 1 \\ 1 & 1 & 1 & 0 & 0 & 0 & 1 & 1 \\ 1 & 1 & 1 & 1 & 0 & 0 & 0 & 1 \\ 1 & 1 & 1 & 1 & 1 & 0 & 0 & 0 \\ 0 & 1 & 1 & 1 & 1 & 1 & 0 & 0 \\ 0 & 0 & 1 & 1 & 1 & 1 & 1 & 0 \\ 0 & 0 & 0 & 1 & 1 & 1 & 1 & 1 \end{bmatrix} \begin{bmatrix} b_0 \\ b_1 \\ b_2 \\ b_3 \\ b_4 \\ b_5 \\ b_6 \\ b_7 \end{bmatrix} + \begin{bmatrix} 1 \\ 1 \\ 0 \\ 0 \\ 0 \\ 1 \\ 1 \\ 0 \end{bmatrix}$$



# Proprietà S-box

- L'output non è una funzione lineare dell'input
- Non ha punti fissi diretti né opposti
  - $S\text{-box}(a) \neq a$  e  $S\text{-box}(\bar{a}) \neq \bar{a}$
- E' invertibile
  - $Inverse\_S\text{-box}(S\text{-box}(a)) = a$
- Non è self-invertibile
  - $S\text{-box}(a) \neq Inverse\_S\text{-box}(a)$
- Progettata per resistere ad attacchi crittoanalitici noti



# Inverse\_S-box

		y															
		0	1	2	3	4	5	6	7	8	9	a	b	c	d	e	f
x	0	52	09	6a	d5	30	36	a5	38	bf	40	a3	9e	81	f3	d7	fb
	1	7c	e3	39	82	9b	2f	ff	87	34	8e	43	44	c4	de	e9	cb
	2	54	7b	94	32	a6	c2	23	3d	ee	4c	95	0b	42	fa	c3	4e
	3	08	2e	a1	66	28	d9	24	b2	76	5b	a2	49	6d	8b	d1	25
	4	72	f8	f6	64	86	68	98	16	d4	a4	5c	cc	5d	65	b6	92
	5	6c	70	48	50	fd	ed	b9	da	5e	15	46	57	a7	8d	9d	84
	6	90	d8	ab	00	8c	bc	d3	0a	f7	e4	58	05	b8	b3	45	06
	7	d0	2c	1e	8f	ca	3f	0f	02	c1	af	bd	03	01	13	8a	6b
	8	3a	91	11	41	4f	67	dc	ea	97	f2	cf	ce	f0	b4	e6	73
	9	96	ac	74	22	e7	ad	35	85	e2	f9	37	e8	1c	75	df	6e
	a	47	f1	1a	71	1d	29	c5	89	6f	b7	62	0e	aa	18	be	1b
	b	fc	56	3e	4b	c6	d2	79	20	9a	db	c0	fe	78	cd	5a	f4
	c	1f	dd	a8	33	88	07	c7	31	b1	12	10	59	27	80	ec	5f
	d	60	51	7f	a9	19	b5	4a	0d	2d	e5	7a	9f	93	c9	9c	ef
	e	a0	e0	3b	4d	ae	2a	f5	b0	c8	eb	bb	3c	83	53	99	61
	f	17	2b	04	7e	ba	77	d6	26	e1	69	14	63	55	21	0c	7d



## ShiftRows Transformation

Righe shiftate di posizioni differenti (shift ciclico a sx)

$$S'_{r,c} \leftarrow S_{r,(c+\text{shift}(r,Nb))\text{mod}Nb}$$

$0 \leq r < 3 \quad 0 \leq c < Nb-1$   
 $\text{shift}(1,4) = 1 \quad \text{shift}(2,4) = 2 \quad \text{shift}(3,4) = 3$

$S_{0,0}$	$S_{0,1}$	$S_{0,2}$	$S_{0,3}$
$S_{1,0}$	$S_{1,1}$	$S_{1,2}$	$S_{1,3}$
$S_{2,0}$	$S_{2,1}$	$S_{2,2}$	$S_{2,3}$
$S_{3,0}$	$S_{3,1}$	$S_{3,2}$	$S_{3,3}$

$S_{0,0}$	$S_{0,1}$	$S_{0,2}$	$S_{0,3}$
$S_{1,1}$	$S_{1,2}$	$S_{1,3}$	$S_{1,0}$
$S_{2,2}$	$S_{2,3}$	$S_{2,0}$	$S_{2,1}$
$S_{3,3}$	$S_{3,0}$	$S_{3,1}$	$S_{3,2}$

I 4 byte di una colonna sono spostati su colonne differenti

Barbara Masucci - DIA - Università di Salerno
30

## MixColumns Transformation

$S_{0,c}$	02	03	01	01	$S_{0,c}$
$S_{1,c}$	01	02	03	01	$S_{1,c}$
$S_{2,c}$	01	01	02	03	$S_{2,c}$
$S_{3,c}$	03	01	01	02	$S_{3,c}$

Moltiplicazione mod  $x^4+1$   
con polinomio fissato  
 $a(x) = \{03\}x^3 + \{01\}x^2 + \{01\}x + \{02\}$

MixColumns()

$S_{0,0}$	$S_{0,c}$	$S_{0,2}$	$S_{0,3}$
$S_{1,0}$	$S_{1,c}$	$S_{1,2}$	$S_{1,3}$
$S_{2,0}$	$S_{2,c}$	$S_{2,2}$	$S_{2,3}$
$S_{3,0}$	$S_{3,c}$	$S_{3,2}$	$S_{3,3}$

$S'_{0,0}$	$S'_{0,c}$	$S'_{0,2}$	$S'_{0,3}$
$S'_{1,0}$	$S'_{1,c}$	$S'_{1,2}$	$S'_{1,3}$
$S'_{2,0}$	$S'_{2,c}$	$S'_{2,2}$	$S'_{2,3}$
$S'_{3,0}$	$S'_{3,c}$	$S'_{3,2}$	$S'_{3,3}$

Bytes nelle colonne combinati linearmente

Barbara Masucci - DIA - Università di Salerno
31



## AddRoundKey Transformation

round key (word)

$$[S'_{0,c}, S'_{1,c}, S'_{2,c}, S'_{3,c}] \leftarrow [S_{0,c}, S_{1,c}, S_{2,c}, S_{3,c}] \oplus [w_{\text{round} \cdot \text{Nb} + c}] \quad 0 \leq c < \text{Nb}$$

$l = \text{round} \cdot \text{Nb}$

Barbara Masucci - DIA – Università di Salerno

32

## Espansione chiave

- A partire dalla chiave iniziale di  $4 \cdot \text{Nb}$  byte, genera un array di  $\text{Nb} \cdot (\text{Nr} + 1)$  word (**chiavi schedulate**)
  - $\text{Nb}$  word per AddRoundKey iniziale
  - $\text{Nb}$  word per AddRoundKey in ciascun round
- Utilizza due routine e un array di word costanti
  - SubWord()
    - Applica la S-box a ciascun byte della word in input
  - RotWord()
    - Applica uno shift ciclico a sinistra sulla word in input
  - Rcon[i]
    - $\text{Rcon}[i] = [\text{RC}[i], \{00\}, \{00\}, \{00\}]$  Word i cui tre byte più a destra sono sempre {00}
    - $\text{RC}[i] = 2 \cdot \text{RC}[i-1]$
    - $\text{RC}[1] = \{01\}$

i	1	2	3	4	5	6	7	8	9	10
RC[i]	{01}	{02}	{04}	{08}	{10}	{20}	{40}	{80}	{1B}	{36}

Barbara Masucci - DIA – Università di Salerno

33


# Espansione chiave

**Chiave schedulata** word  $w[Nb(Nr+1)]$

**Chiave byte**  $key[4*Nk]$

$w[i] \leftarrow w[i-1] \text{ xor } w[i-Nk]$

Eccetto per  $i$  multipli di  $Nk$   
e per  $Nk = 8$  and  $i \bmod Nk = 4$



Barbara Masucci - DIA - Università di Salerno

34

# Espansione chiave

**KeyExpansion** (byte  $key[4 * Nk]$ , word  $w[Nb * (Nr+1)]$ ,  $Nk$ )


```

i ← 0
while (i < Nk)
    w[i] ← word[key[4*i],key[4*i+1],key[4*i+2],key[4*i+3]]
    i ← i + 1
i ← Nk
while (i < Nb * (Nr + 1))
    word temp ← w[i - 1]
    if (i mod Nk = 0)
        temp ← SubWord(RotWord(temp)) xor Rcon[i/Nk]
    else if (Nk = 8 and i mod Nk = 4)
        temp ← SubWord(temp)
    w[i] ← w[i - Nk] xor temp
    i ← i + 1
    
```

**SubWord** (word  $w$ )  
 $[a,b,c,d] \leftarrow w$   
**Output**  $[S\text{-box}(a), S\text{-box}(b), S\text{-box}(c), S\text{-box}(d)]$

$Rcon[i] = [RC[i], \{00\}, \{00\}, \{00\}]$

**RotWord** (word  $w$ )  
 $[a,b,c,d] \leftarrow w$   
**Output**  $[b, c, d, a]$



Barbara Masucci - DIA - Università di Salerno

35

# Espansione chiave Esemplio

**Key**  
2b 7e 15 16 28 ae d2 a6 ab f7 15 88 09 cf 4f 3c

**Nk = 4**

$w_0 = 2b7e1516$   $w_1 = 28aed2a6$   
 $w_2 = abf71588$   $w_3 = 09cf4f3c$

i (dec)	Temp	After RotWord()	After SubByte()	Round(i, Nk)	After with Round	w[i-Nk]	w[i] ← temp XOR w[i-Nk]
4	09cf4f3c	cf4f3c09	8a84eb01	01000000	8b84eb01	2b7e1516	a0fafe17
5	a0fafe17				28aed2a6	88542cbl	
6	88542cbl				abf71588	23a33939	
7	23a33939				09cf4f3c	2a6c7605	
8	2a6c7605	6c76052a	50386ba3	02000000	52386ba3	a0fafe17	f2c295f2
9	f2c295f2				88542cbl	7a96b943	
10	7a96b943				23a33939	5935807a	
11	5935807a				2a6c7605	7359f67f	
12	7359f67f	59f67f73	cb43d28f	04000000	c43d28f2	f2c295f2	3d80477d
13	3d80477d				7a96b943	471fe3e3	
14	471fe3e3				5935807a	1e237e44	
15	1e237e44				7359f67f	6d7a883b	
16	6d7a883b	7a883b6d	dae4e23c	08000000	d2e4e23c	3d80477d	e44a341
17	e44a341				471fe3e3	ab52b07f	
18	ab52b07f				1e237e44	b671253b	
19	b671253b				6d7a883b	4b0bad00	
20	4b0bad00	0bad004b	2b95e3b9	10000000	2b95e3b9	e44a341	441c0f48
21	441c0f48				a852b07f	7c939d87	
22	7c939d87				b671253b	caf2b0bc	
23	caf2b0bc				4b0bad00	11f915bc	
24	11f915bc	f915bc11	9559e582	20000000	b595e582	d4d1c0f48	6d8a37a
25	6d8a37a				7c939d87	110b3e4d	
26	110b3e4d				caf2b0bc	dbf98e41	
27	dbf98e41	093f8ca	63dc5474	40000000	23dc5474	6d8a37a	4e54270e
28	4e54270e				110b3e4d	5f5fc9f3	
29	5f5fc9f3				dbf98e41	84e442b2	
30	84e442b2				ca093fd3	4ea6dc4f	
31	4ea6dc4f	a6dc4e4a	2486842e	80000000	a686842e	4e54270e	ead27321
32	ead27321				5f5fc9f3	b58bad2	
33	b58bad2				84e442b2	312bf560	
34	312bf560				4ea6dc4f	7f8d292f	
35	7f8d292f	8d292f7f	5da15a2	1b000000	46a15a2	ead27321	ac776e63
36	ac776e63				b58bad2	19fad021	
37	19fad021				312bf560	28d12941	
38	28d12941				7f8d292f	575c006e	
39	575c006e	5c006e57	4a639f5b	36000000	7c639f5b	ac776e63	d01489a8
40	d01489a8				19fad021	c9ee2589	
41	c9ee2589				28d12941	e13f0cc8	
42	e13f0cc8				575c006e	b6630ca6	
43	b6630ca6						

Barbara Masucci - DIA - Università di Salerno

# Cifratura Esemplio

**Input**  
32 43 f6 a8 88 5a 30 8d 31 31 98 a2 e0 37 07 34

**Key**  
2b 7e 15 16 28 ae d2 a6 ab f7 15 88 09 cf 4f 3c

Round Number	Start of Round	After Subbytes	After ShiftRows	After MixColumns	Round Key Value
1	32 43 f6 a8 88 5a 30 8d 31 31 98 a2 e0 37 07 34	44 e0 28 1e 27 bf b4 41 11 98 56 39 08 4a 9c 3e	44 e0 b8 1e bf b4 41 27 11 98 56 39 08 4a 9c 3e	04 e0 48 28 66 cb 28 06 81 19 03 13 08 4a 9c 3e	00 88 23 2a 2a 34 a3 cc 52 2c 19 7a 08 4a 9c 3e
2	44 e0 28 1e 27 bf b4 41 11 98 56 39 08 4a 9c 3e	49 45 74 77 de ad 39 02 d2 9e 87 53 93 f1 1a 3b	49 45 74 77 de ad 39 02 d2 9e 87 53 93 f1 1a 3b	50 1b 0b 1b 4d ab 07 ab ca 5a ca 50 f1 ac ab 05	23 74 59 73 c2 94 35 59 93 59 80 76 29 23 ca 74
3	44 e0 28 1e 27 bf b4 41 11 98 56 39 08 4a 9c 3e	ac ef 13 45 2f 5e 08 f6 cf 11 d6 5a 7b df d5 b8	ac ef 13 45 2f 5e 08 f6 cf 11 d6 5a 7b df d5 b8	75 20 53 5b ac 0b 0c 0c 09 e3 ce 0d 93 33 7c 6c	3d 47 1a 64 50 81 83 1a 47 2a 76 88 7d 2e 44 3b
4	44 e0 28 1e 27 bf b4 41 11 98 56 39 08 4a 9c 3e	52 85 a3 ef 90 a4 11 cf 2f 5e 08 f6 28 d7 07 34	52 85 a3 ef 90 a4 11 cf 2f 5e 08 f6 28 d7 07 34	02 e0 fe 5a 8f 1a 21 39 a9 bf 01 01 08 4a 9c 3e	af 28 b6 db 44 22 1d 0d 52 9c 4e 0e 41 72 1b 00
5	e0 c0 d8 85 92 f3 b1 b8 72 38 15 8e e0 c0 50 01	a1 e8 15 97 4f 2b c9 8c 22 ad 9f a8 9b ba 53 7c	a1 e8 15 97 4f 2b c9 8c 22 ad 9f a8 9b ba 53 7c	25 b6 b6 4c 91 11 3a 0c a9 d1 33 05 ad 68 9a 20	04 7c ca 11 41 83 72 29 52 9c 4e 0e 28 07 bc 1c
6	e0 c0 d8 85 92 f3 b1 b8 72 38 15 8e e0 c0 50 01	a1 78 10 4c a3 4e 88 d5 a3 29 3d 13 fc de 23 1e	a1 78 10 4c a3 4e 88 d5 a3 29 3d 13 fc de 23 1e	4b 2c 33 37 86 4a 9a d2 8d 89 54 14 fd 80 a8 d8	ed 11 db ca 88 0b 19 00 31 8a 8c 83 7a 2d 41 2d
7	e0 c0 d8 85 92 f3 b1 b8 72 38 15 8e e0 c0 50 01	e7 27 9b 54 ab 83 43 b5 31 a9 40 38 20 fe 43 3e	e7 27 9b 54 ab 83 43 b5 31 a9 40 38 20 fe 43 3e	14 46 27 34 15 16 46 2a 89 13 06 88 df ec 07 43	4e 5f 84 64 54 2f a6 a6 e7 09 4e 0e 0a 03 2c 4f
8	e0 c0 d8 85 92 f3 b1 b8 72 38 15 8e e0 c0 50 01	0e 04 0a 0b 83 3d 01 04 2c 86 04 2f 08 c0 4a 1e	0e 04 0a 0b 83 3d 01 04 2c 86 04 2f 08 c0 4a 1e	08 04 0a 0b 3d 01 04 93 24 2c 86 0e 08 c0 4a 1e	00 53 21 74 52 89 6d 99 73 ba 25 29 d1 21 00 2f
9	e0 c0 d8 85 92 f3 b1 b8 72 38 15 8e e0 c0 50 01	87 22 4d 97 ac 4c 30 ac 4a 03 46 07 8c d8 95 ac	87 22 4d 97 ac 4c 30 ac 4a 03 46 07 8c d8 95 ac	49 40 m3 0c 37 24 00 0f 94 c4 3a 12 ed a5 ae bc	ac 13 28 97 77 21 21 2e 56 ac 29 00 23 21 41 6e
10	0b 59 8b 15 40 2e a1 c3 22 38 13 42 1e 84 e7 d2	09 cb 3d af 09 31 3e 2e 83 07 1d 1c 72 5e 94 b5	09 cb 3d af 09 31 3e 2e 83 07 1d 1c 72 5e 94 b5		00 c9 a1 b6 14 ee 2f 63 f9 13 0c 63 a8 89 c8 a6

Barbara Masucci - DIA - Università di Salerno

## Decifratura AES

- L'algoritmo di decifratura non è lo stesso della cifratura
  - Usa una diversa sequenza di trasformazioni
  - Usa le trasformazioni inverse
  - Svantaggio: necessaria una doppia implementazione
- Esiste anche un algoritmo di decifratura che ha la stessa struttura di quello di cifratura
  - Stessa sequenza di trasformazioni
  - Usa le trasformazioni inverse



Barbara Masucci - DIA – Università di Salerno

38

## Pseudocodice decifrazione AES

```

InvCipher(byte in[4*Nb], byte out[4*Nb], word w[Nb*(Nr+1)])
byte state[4,Nb]
state ← in
AddRoundKey(state, w + Nr * Nb)
for round = Nr - 1 step -1 to 1
    InvShiftRows(state)
    InvSubBytes(state)
    AddRoundKey(state, w + round * Nb)
    InvMixColumns(state)
InvShiftRows(state)
InvSubBytes(state)
AddRoundKey(state, w)
out ← state
    
```

## InvShiftRows Transformation

$$S'_{r,(c+\text{shift}(r,Nb))\text{mod}Nb} \leftarrow S_{r,c} \quad \begin{matrix} 0 \leq r < 4 & 0 \leq c < Nb \\ \text{shift}(1,4)=1 & \text{shift}(2,4)=2 & \text{shift}(3,4)=3 \end{matrix}$$

$S_{0,0}$	$S_{0,1}$	$S_{0,2}$	$S_{0,3}$
$S_{1,0}$	$S_{1,1}$	$S_{1,2}$	$S_{1,3}$
$S_{2,0}$	$S_{2,1}$	$S_{2,2}$	$S_{2,3}$
$S_{3,0}$	$S_{3,1}$	$S_{3,2}$	$S_{3,3}$

$S_{0,0}$	$S_{0,1}$	$S_{0,2}$	$S_{0,3}$
$S_{1,1}$	$S_{1,2}$	$S_{1,3}$	$S_{1,0}$
$S_{2,2}$	$S_{2,3}$	$S_{2,0}$	$S_{2,1}$
$S_{3,3}$	$S_{3,0}$	$S_{3,1}$	$S_{3,2}$

Barbara Masucci - DIA – Università di Salerno
40

## InvSubBytes Transformation

$$S'_{r,c} \leftarrow \text{Inverse\_S-box}(S_{r,c}) \quad \begin{matrix} 0 \leq r < 4 & 0 \leq c < Nb \end{matrix}$$

$S_{0,0}$	$S_{0,1}$	$S_{0,2}$	$S_{0,3}$
$S_{1,0}$	$S_{1,1}$	$S_{1,2}$	$S_{1,3}$
$S_{2,0}$	$S_{2,1}$	$S_{2,2}$	$S_{2,3}$
$S_{3,0}$	$S_{3,1}$	$S_{3,2}$	$S_{3,3}$

Inverse\_S-box

$S'_{0,0}$	$S'_{0,1}$	$S'_{0,2}$	$S'_{0,3}$
$S'_{1,0}$	$S'_{1,1}$	$S'_{1,2}$	$S'_{1,3}$
$S'_{2,0}$	$S'_{2,1}$	$S'_{2,2}$	$S'_{2,3}$
$S'_{3,0}$	$S'_{3,1}$	$S'_{3,2}$	$S'_{3,3}$

Barbara Masucci - DIA – Università di Salerno
41

## InvMixColumns Transformation

$S'_{0,c}$	0e	0b	0d	09	$S_{0,c}$
$S'_{1,c}$	09	0e	0b	0d	$S_{1,c}$
$S'_{2,c}$	0d	09	0e	0b	$S_{2,c}$
$S'_{3,c}$	0b	0d	09	0e	$S_{3,c}$

Moltiplicazione mod  $x^4+1$   
con polinomio fissato  
 $a^{-1}(x) = \{0b\}x^3 + \{0d\}x^2 + \{09\}x + \{0e\}$

**InvMixColumns()**

Barbara Masucci - DIA – Università di Salerno

42

## AddRoundKey Transformation

**È l'inversa di se stessa!**

$[S'_{0,c}, S'_{1,c}, S'_{2,c}, S'_{3,c}] \leftarrow [S_{0,c}, S_{1,c}, S_{2,c}, S_{3,c}] \oplus [w_{\text{round} \cdot \text{Nb} + c}] \quad 0 \leq c < \text{Nb}$

$l = \text{round} \cdot \text{Nb}$

Barbara Masucci - DIA – Università di Salerno

43

## Bibliografia

- **Cryptography and Network Security**  
by W. Stallings (2003)
  - cap. 5 (AES) + appendice
- Tesina di Sicurezza su reti
  - Advanced Encryption Standard

